

## ЛИТЕРАТУРА

1. Temkin S., Dobbins R. A. Measurement of attenuation and dispersion of sound by an aerosol // J. Acoust. Soc. Amer.— 1966.— V. 40, N 5.
2. Cole J. E., Dobbins R. A. Measurements of attenuation and dispersion of sound by a warm air fog // J. Atmospheric Sci.— 1971.— V. 28, N 2.
3. Marble F. E., Candel S. M. Acoustic attenuation in fans and ducts by vaporization of liquid droplets // AIAA J.— 1975.— V. 13, N 5.
4. Davidson G. A. Sound propagation in fogs // J. Atmospheric Sci.— 1975.— V. 32, N 11.
5. Gumerov N. A., Ivandaev A. I., Nigmatullin R. I. Sound waves in monodisperse gas-particle or vapour-droplet mixture // J. Fluid Mech.— 1988.— V. 193.— P. 53.
6. Губайдуллин Д. А. Акустические возмущения в парогазокапельных смесях с малым массовым содержанием капель // Современные проблемы теплофизики.— Новосибирск: ИТ СО АН СССР, 1987.
7. Губайдуллин Д. А. О влиянии тепломассообмена на распространение звуковых волн в парогазокапельных системах // Вестн. МГУ. Сер. 1. Математика, механика.— 1987.— № 3.
8. Губайдуллин Д. А., Ивандаев А. И. Скорость и затухание звука в парогазокапельных системах. Роль тепломассообменных процессов // ПМТФ.— 1987.— № 3.
9. Губайдуллин Д. А., Ивандаев А. И. Влияние фазовых превращений на распространение звука в туманах. Сопоставление теории с экспериментом // ПМТФ.— 1990.— № 6.
10. Губайдуллин Д. А., Ивандаев А. И. Характерные времена процессов взаимодействия фаз и их влияние на дисперсию и абсорбцию акустических волн в парогазокапельных системах // ТВТ.— 1991.— Т. 29, № 1.
11. Губайдуллин Д. А., Ивандаев А. И. Динамика импульсных волн малой амплитуды в парогазокапельных системах // ПМТФ.— 1991.— № 2.
12. Шаганов В. Ш. О распространении малых возмущений в парогазокапельной среде // ТВТ.— 1987.— Т. 25, № 6.
13. Гумеров И. А., Ивандаев А. И. Распространение звука в полидисперсных газовзвесях // ПМТФ.— 1988.— № 5.
14. Нигматулин Р. И., Ивандаев А. И., Губайдуллин Д. А. Эффект немонотонной зависимости диссипации звука от концентрации капель в акустике газовзвесей // ДАН СССР.— 1991.— Т. 316, № 3.
15. Нигматулин Р. И. Динамика многофазных сред.— М.: Наука, 1987.— Ч. 1.
16. Фукс Н. А. Механика аэрозолей.— М.: Изд-во АН СССР, 1955.

г. Казань, г. Тюмень

Поступила 26/II 1992 г.

УДК 532.529.6

П. К. Волков

## ВЛИЯНИЕ ДВИЖЕНИЯ СРЕДЫ ПУЗЫРЯ НА ВСПЛЫТИЕ В ВЕРТИКАЛЬНЫХ ТРУБКАХ

**1. Введение.** При моделировании всплывающих в жидкости пузырей, как правило, для упрощения задачи предполагается, что внутри пузыря среда покоятся и для описания состояния такой среды вполне достаточно одной константы — термодинамического давления газа в пузыре  $p_r$ . В случае всплытия газовых или воздушных пузырей в тяжелой жидкости это вполне оправданно, поскольку отношение плотностей и вязкостей газа и жидкости  $\ll 1$ , а значит, среда в пузыре легкая и трение газа о жидкость на границе пузыря мало и не оказывает существенного влияния на всплытие. Данное предположение подтверждается многочисленными экспериментами. Однако для паровых пузырей, например во фреонах, отношение плотностей уже порядка 0,1 и расчет задачи по модели пузыря может быть недостаточно хорошим.

**2. Постановка задачи и алгоритм решения.** В настоящей работе в предположении, что среда в пузыре — вязкая несжимаемая жидкость (капля другой жидкости), исследуется всплытие при  $\rho_1/\rho_2 = 0,1$  в трубках в стесненных условиях для  $\lambda = 0,8$ . Здесь  $\rho_1$ ,  $\rho_2$  — плотность среды внутри и вне капли;  $\lambda = a/R_k$ ;  $a$  — радиус эквивалентной по объему сфе-

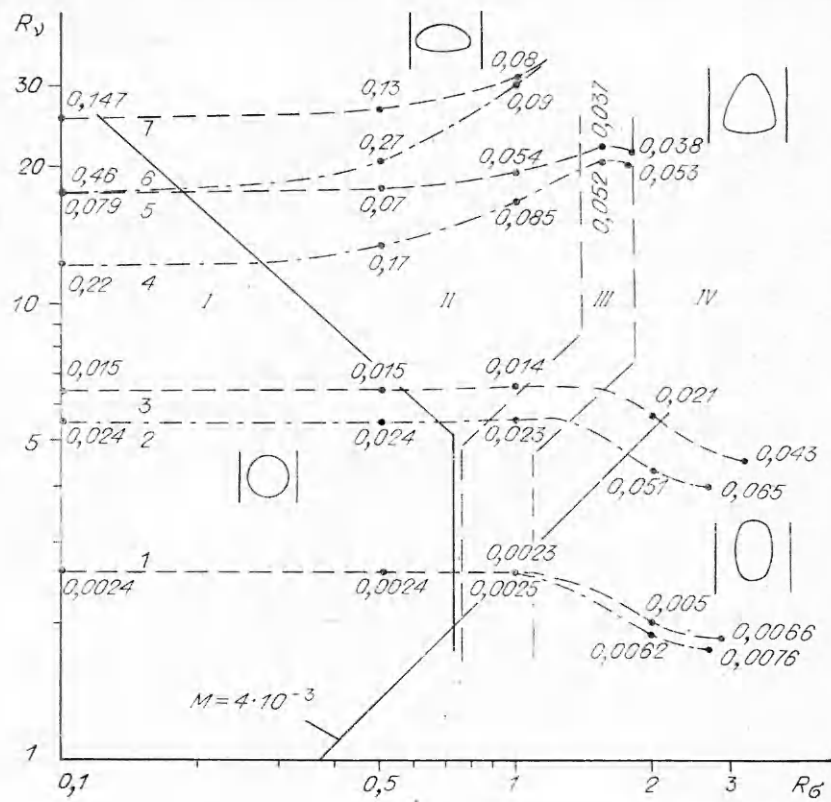


Рис. 1

ры;  $R_\kappa$  — радиус трубки. В этом случае капля занимает более половины сечения трубы и, таким образом, особенности течения внешней жидкости (а значит, и внутри капли) определяются характером перетока ее через узкий зазор между стенками трубы и капли. При меньших  $\lambda$ , как показывают расчеты всплывающего пузыря [1], влияние стенок мало, при больших  $\lambda$  оно усиливается.

Движение внутри и вне капли описывается уравнениями Навье — Стокса. На границе раздела сред Г ставятся условия согласования [2]: равенство скоростей и касательных напряжений. Нормальные напряжения имеют скачок на величину капиллярного давления. Алгоритм численного решения задачи строится аналогично [1] и подробно описан в [3]. Результаты серии расчетов представлены на диаграмме (рис. 1) с координатами  $R_\sigma = a/(\nu_2^2/g)^{1/3}$ ,  $R_v = a/(\sigma/\rho_2 g)^{1/2}$ , так что каждая среда всплытия изображается на ней прямой линией, поскольку  $R_\sigma/R_v = (g\rho_2\nu_2^4/2\sigma^3)^{1/6} = M^{1/6}$ , где  $M$  зависит только от физических констант среды всплытия ( $g$  — ускорение свободного падения,  $\sigma$  — коэффициент поверхностного натяжения на границе раздела сред,  $\nu_1$ ,  $\nu_2$  — кинематическая вязкость капли и внешней жидкости). Из-за большого числа безразмерных параметров [3] (используются  $Re_1 = u_2 a/\nu_1$ ,  $Re_2 = u_2 a/\nu_2$  — числа Рейнольдса внутреннего и внешнего течений,  $We = \rho_2 u^2 a/\sigma$  — число Вебера) обобщение результатов провести очень трудно. Тем не менее приведенные на рис. 1 линии постоянных значений чисел Рейнольдса и числа Фруда ( $Fr = u^2/ga$ ) на них, несущего полную информацию о скорости всплытия  $u$ , показывают общие закономерности течений и степень влияния среды капли на процесс всплытия. Здесь при  $Re_1 = 0,4$  линии 1, 3, 5, 7 отвечают  $Re_2 = 0,4; 4; 40; 100$ , а линии 2, 4, 6 при  $Re_1 = 60$  соответствуют  $Re_2 = 4; 40; 100$ . Расчеты ведутся по  $We$  при заданных  $Re_1$ ,  $Re_2$  от  $We = 0$ , когда капля — сфера. С ростом  $We$  форма капли изменяется.

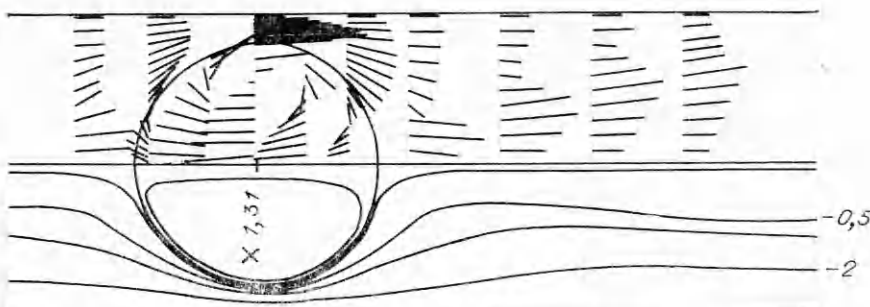


Рис. 2

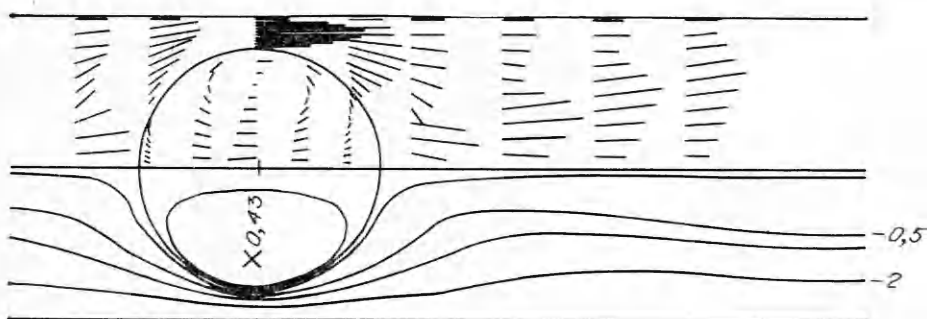


Рис. 3

**3. Всплытие слабодеформированных капель.** Область  $I$  на рис. 1, очерченная сплошной ломаной линией,— область сферических и малодеформированных капель (отношение горизонтального к вертикальному размеру  $\leq 1,03$ ). Значения Fr практически постоянны при фиксированных  $Re_1$ ,  $Re_2$  с ростом We. Область  $I$  построена по данным расчетов для  $Re_1 = 60$  и практически совпадает с аналогичной для пузырей [1]. При  $Re_1 = 0,4$  верхняя наклонная линия области  $I$  поворачивается вправо на  $15—20^\circ$ .

Изучим особенности всплытия сферических капель. При  $\lambda = 0$  известно точное решение уравнений Навье — Стокса для  $Re_2 \ll 1$  (сферический вихрь Хилла [4]), не зависящее от среды капли. Здесь при  $We = 0$  имеем сферу с  $a = 2$  и выполненное краевое условие для нормальных напряжений [3]. Можно ожидать, что при некоторых  $Re_2$  и  $\lambda > 0$  сохранится эта «автомодельность» всплытия капли относительно ее среды. Расчеты по We с  $Re_1 = 0,4$  и 60 при малых  $Re_2$  практически совпадают — линия  $I$  на рис. 1 отвечает  $Re_2 = 0,4$ . Внутри капли происходит интенсивное вихревое движение, как на рис. 2 (сплошные линии — изолинии функции тока в системе координат, связанной с каплей, черточки — векторы скорости по сечению трубы). Максимальное значение скорости внутри капли сравнимо со скоростью перетекаемой жидкости в узком зазоре между стенкой трубы и поверхностью капли. При  $R_o = 0,1$  для линии  $I$  (рис. 1)  $M \approx 3 \cdot 10^{-9}$ , а значение  $M$  для капли  $M_k$  изменяется от  $10^{-19}$  для  $Re_1 = 60$  до  $3 \cdot 10^{-12}$  для  $Re_1 = 0,4$ ; на правой границе области  $I$  ( $R_o = 0,8$ )  $M \approx 10^{-3}$ , а  $M_k = 2 \cdot 10^{-15}$  и  $10^{-6}$  соответственно.

С ростом  $Re_2$  решения при  $Re_1 = 60$  и 0,4 различаются: кривые 2 и 3 для  $Re_2 = 4$  на рис. 1. Однако в структуре течений существенных изменений не произошло, картины очень похожи на рис. 2. При  $Re_2 = 40$  различие для  $Re_1 = 60$  и 0,4 (кривые 4 и 5 на рис. 1) еще больше увеличилось. Стали заметными изменения в картинах течений. Так, если при  $Re_1 = 60$  отличия от рис. 2 наблюдаются в сторону некоторого увеличения длип векторов скорости в области границы капли с обеих ее сторон, то для  $Re_1 = 0,4$  имеем существенное уменьшение интенсивно-

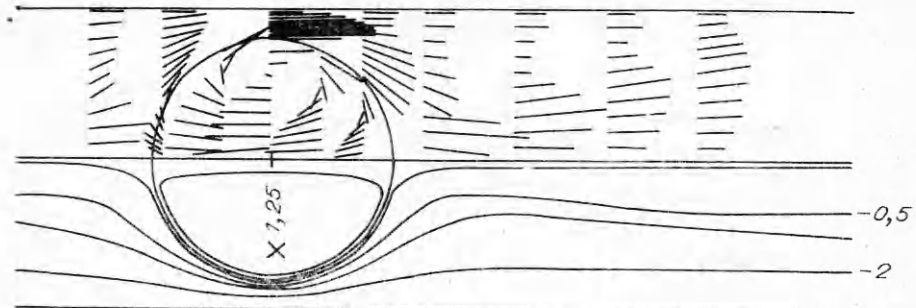


Рис. 4

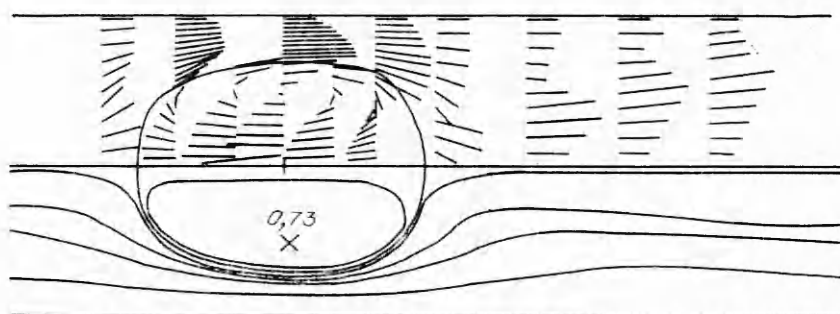


Рис. 5

сти вращения вихря в капле (локальный максимум функции тока стал  $\approx 0,4$ ). Максимальное значение скорости в капле уже меньше скорости всплытия (рис. 3,  $We = 0,0058$ ,  $R_o = 0,2$ ,  $R_v = 17,5$ ,  $Fr = 0,074$ ,  $M = 10^{-13}$ ,  $M_k = 2 \cdot 10^{-7}$ ). Изменилось распределение скорости в узком зазоре: около капли на внешней стороне происходит существенное замедление потока жидкости.

Линии 6 и 7 на рис. 1 соответствуют решениям при  $Re_2 = 100$ . Соотношение картин течений для малых и больших  $Re_1$  примерно такое же, как для  $Re_2 = 40$ . Характерный вид течения для  $Re_1 = 60$  показан на рис. 4 ( $We = 0,024$ ,  $R_o = 0,17$ ,  $R_v = 17,7$ ,  $Fr = 0,45$ ,  $M = 1,8 \cdot 10^{-13}$ ,  $M_k = 10^{-15}$ ). Значения  $M$  при  $R_o = 0,1$  для  $Re_2 = 100$ ,  $Re_1 = 60$  и  $Re_2 = 40$ ,  $Re_1 = 0,4$  практически совпадают, с ростом  $R_o$  ( $\leq 0,2$ ) структуры течений, значения  $Fr$  различаются несущественно. Таким образом, рис. 3 и 4 служат иллюстрацией влияния среды капли на процесс всплытия:  $M$ ,  $R_o$ ,  $R_v$  (а следовательно, и размеры капли) примерно одинаковы, значения  $M_k$  отличаются более чем на 8 порядков. Скорость всплытия капли с меньшим  $M_k$  (рис. 4) в 2,4 раза выше, чем у капли жидкости того же объема с большим  $M_k$  (рис. 3). Кстати, здесь возможна легкая проверка правильности нахождения определяемого параметра  $Fr$ . Квадратный корень из отношения чисел Фруда (отношение скоростей всплытия) должен быть равен отношению чисел Рейпольдса  $Re_2$  внешней жидкости, если данные отвечают одной и той же точке на рис. 1. В этом случае погрешность  $\leq 3,6\%$ , что находится в пределах допустимой точности вычисления  $Fr$  из равенства силы трения на поверхности капли архimedовой силе.

Тот факт, что данные для постоянных значений  $Re_1$  и  $Re_2$  в области I практически не зависят от  $R_o$  (линии 1—7 параллельны оси  $R_o$ ), говорит о том, что всплытие определяется соотношением вязких сил и не зависит от поверхностного натяжения. Капиллярные силы здесь превосходят силы динамического взаимодействия и сохраняют форму капли сферической.

**4. Всплытие деформированных капель в трубе.** С увеличением  $We$  капля вытягивается поперек направления всплытия (область  $II$  на рис. 1). При этом происходит уменьшение зазора между поверхностью капли и стенкой трубы, что приводит к увеличению неравномерности в скорости по сечениям трубы. В вязких средах с достаточно большими  $M (>10^{-5})$  этот процесс «быстро стабилизируется» и влияние стенок трубы начинаетказываться, приводя к вытягиванию вперед носовой части капли (область  $III$ ), а затем назад кормовой части (область  $IV$ ). Таким образом, в области  $IV$  капля деформируется, вытягиваясь вдоль трубы, с увеличением зазора между ее поверхностью и твердой стенкой. Область перестройки процесса деформации капли  $III$  достаточно узкая, и в ней становятся существенными все параметры. Линии постоянных значений чисел Рейнольдса имеют здесь локальный максимум, в области  $IV$  монотонно убывают, выходя при  $R_\sigma > 2$  снова на константы. Значения  $Fr$  при движении вдоль этих линий с увеличением  $R_\sigma$  уменьшаются, достигая локального минимума в области  $III$ , а затем снова растут. Рис. 2 ( $Re_1 = 0,4, Re_2 = 0,4, We = 0,0048, Fr = 0,0023, R_\sigma = 1, R_v = 2,58, M = 3,7 \cdot 10^{-3}, M_k = 3,7 \cdot 10^{-6}$ ) соответствует области  $III$ . На рис. 5 ( $Re_1 = 0,4, Re_2 = 0,4, We = 0,11, Fr = 0,0066, R_\sigma = 2,88, R_v = 1,82, M = 15,8, M_k = 0,016$ ) представлена картина течения в области  $IV$  при выходе линии постоянных  $Re_1, Re_2$  на константу (см. рис. 1). Капля имеет вытянутую (как снаряд) форму с тупой носовой частью (начинает уплотняться с  $R_\sigma > 2$ ) и волнообразной кормовой. Далее по  $R_\sigma$  продвинуться не удалось. Граница капли волнообразно изменялась на итерациях ее расчета. Решения для разных  $We$  при  $Re_1 = 60$  ( $Re_2 = 0,4$ ) в целом имеют те же закономерности деформации поверхности, но расположены несколько ниже при  $R_\sigma > 0,8$  (см. рис. 1). Капля по сравнению с  $Re_1 = 0,4$  менее вытянута, интенсивность движения среды внутри нее выше. При  $R_\sigma = 2,52$  на боковой поверхности капли, за точкой локального максимума функции тока, появляется вмятина и далее на итерациях расчета граница остается волнообразной — стационарное решение не получено.

Расчеты для  $Re_2 = 4$  с  $Re_1 = 60$  и  $0,4$  (линии 2 и 3 на рис. 1) изображаются на диаграмме кривыми, которые можно совместить параллельным переносом. Это область значений гидродинамических параметров, когда индивидуальные особенности сред сохраняются и проявляются с изменением геометрии капли (решения для линии 3 соответствуют средам с одинаковыми динамическими вязкостями). Картины течений при  $Re_1 = 60, We = 0,05$  ( $Fr = 0,023, R_\sigma = 1,05, R_v = 5,6, M = 4,4 \cdot 10^{-5}, M_k \sim 10^{-11}$ ) и  $Re_1 = 0,4, We = 0,028$  ( $Fr = 0,014, R_\sigma = 1, R_v = 6,55, M = 1,2 \cdot 10^{-5}, M_k = 1,2 \cdot 10^{-4}$ ) очень похожи на рис. 2 при несколько меньшей интенсивности движения жидкости в капле с  $Re_1 = 0,4$  (максимум функции тока равен 1,16).

При  $R_c \geq 2$  капля вытянута вдоль трубы. Рис. 6 соответствует  $Re_1 = 60, We = 0,4$  ( $Fr = 0,05, M = 0,01, M_k \sim 10^{-10}, R_\sigma = 1,98, R_v = 4,28$ ), а рис. 7 —  $Re_1 = 0,4, We = 0,18$  ( $Fr = 0,022, M = 0,0023, M_k = 0,023, R_\sigma = 2,05, R_v = 5,65$ ). При дальнейшем увеличении  $We$  ( $We = 0,85, R_\sigma = 2,57, R_v = 3,95, M = 0,075, M_k = 10^{-9}$ ) длина капли при  $Re_1 = 60$  осталась той же, что и на рис. 6, увеличилась волна в кормовой части и слегка расплющился нос (как на рис. 5). В структуре течений особых изменений нет. При  $Re_1 = 0,4$  ситуация другая: при  $R_\sigma = 2,55$  ( $We = 0,46, Fr = 0,035, M = 0,022, M_k = 0,22$ ) капля значительно вытянулась, практически не меняя носовой и кормовой частей. Уменьшилась интенсивность движения жидкости внутри нее и сдвинулась назад точка локального максимума функции тока, равного 0,53. На рис. 8 ( $We = 0,85, Fr = 0,043, R_\sigma = 3,15, R_v = 4,5, M = 0,11, M_k = 1,1$ ) показан вид течения, отвечающий выходу линии 3 (рис. 1) на постоянный уровень. На боковой поверхности капли появился участок, параллельный стенке, в кормовой — характерное утолщение.

В жидкостях с  $M < 10^{-5}$  всплывающие капли деформируются, вытягиваясь поперек трубы, в значительно большем диапазоне значений  $We$

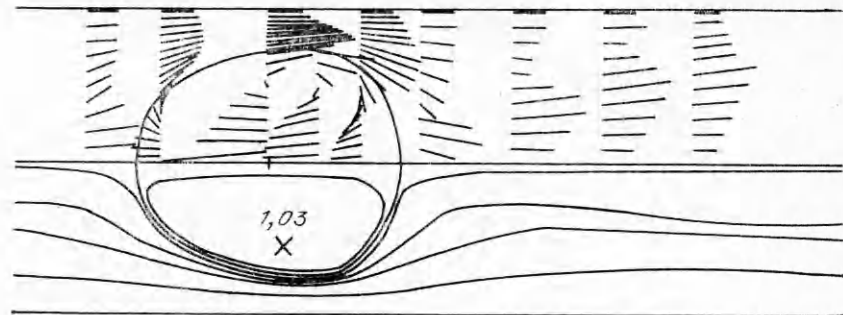


Рис. 6

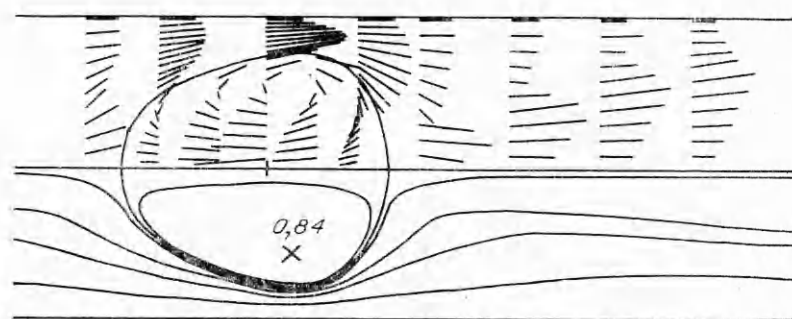


Рис. 7

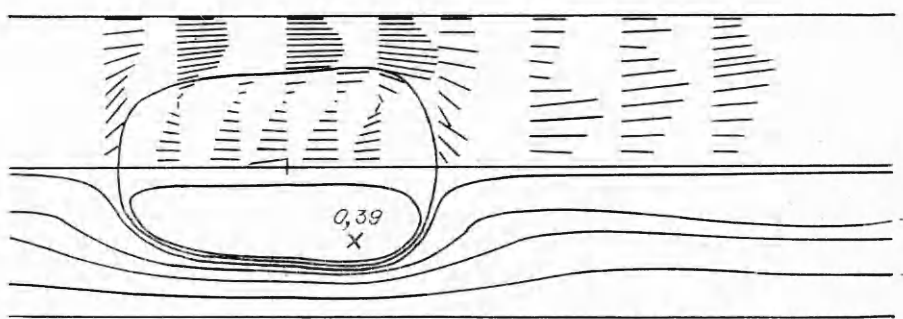


Рис. 8

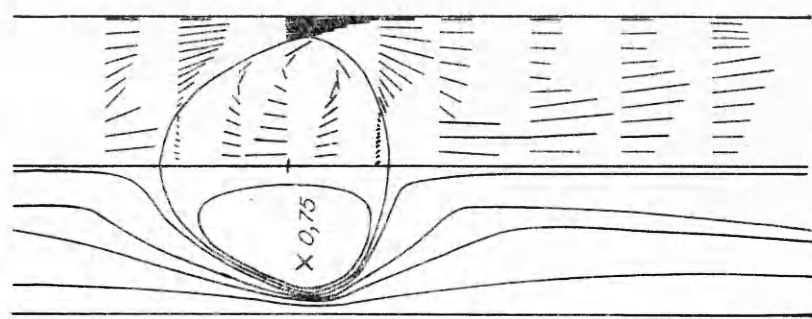


Рис. 9

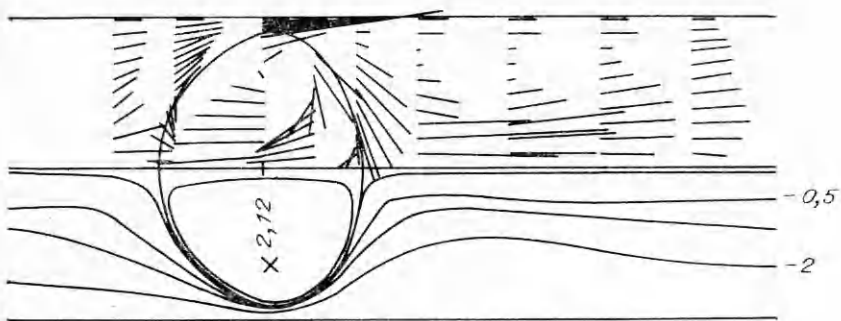


Рис. 10

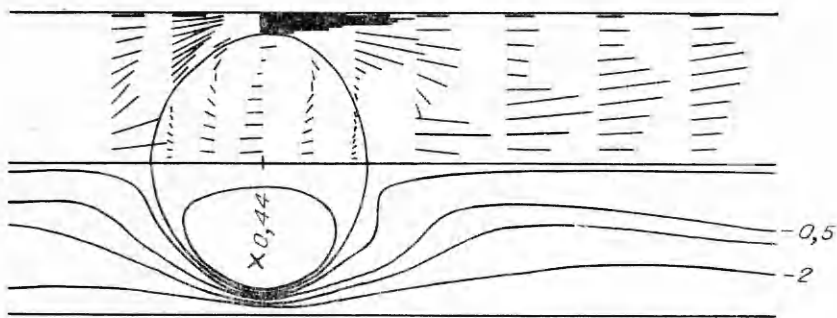


Рис. 11

(область  $II$ , рис. 1). Линии постоянных значений  $Re_1$  и  $Re_2$  в области сферических пузырей разошлись еще больше (см. рис. 1, линии 4, 5 и 6, 7), что говорит о существенном влиянии среды капли на ее всплытие. С увеличением  $We$  линии 4 и 5, 6 и 7 начинают сближаться, разность значений  $Fr$  на них уменьшается и достигает наименьших величин в области  $III$ , где происходит перестройка процесса деформации и капля начинает вытягиваться вдоль оси трубы. На рис. 9 ( $Re_1 = 0.4$ ,  $Re_2 = 40$ ,  $We = 0.26$ ,  $Fr = 0.04$ ,  $R_\sigma = 1.84$ ,  $R_v = 21.7$ ,  $M = 3.6 \cdot 10^{-7}$ ,  $M_k = 3.6 \cdot 10^{-2}$ ) представлена характерная картина течения при переходе в область  $IV$ . Капля имеет клинообразную форму, аналогичную пузырю в этой же области значений параметров  $R_\sigma$ ,  $R_v$  (см. [1], рис. 7, б). В носовой и кормовой частях ее жидкость практически не движется, так что на внешней стороне реализуется условие прилипания, как на неподвижной стенке. При больших  $R_\sigma$  поверхность капли изменяется нестационарно.

Данные для  $Re_2 = 100$  с  $Re_1 = 60$  и  $0.4$  (линии 6 и 7, рис. 1) сближаются с ростом  $R_\sigma$ . Значения  $Fr$  на них уменьшаются и при  $R_\sigma = 1$  отличаются на  $\sim 12\%$ . На рис. 10 показан вид течения для  $Re_1 = 60$ ,  $We = 0.19$  ( $Fr = 0.086$ ,  $R_\sigma = 1.04$ ,  $R_v = 30.66$ ,  $M = 1.5 \cdot 10^{-9}$ ,  $M_k \sim 10^{-11}$ ). Внутри капли имеется интенсивный вихрь, вне ее у стенки трубы — застойная зона, а по поверхности движется жидкость, обтекая каплю и создавая за ней у оси струю. Структура течения сильно напоминает картину около всплывающего пузыря [1]. При  $Re_1 = 0.4$  существенно изменился вид течения (рис. 11,  $We = 0.17$ ,  $Fr = 0.066$ ,  $R_\sigma = 1.14$ ,  $R_v = 33.45$ ,  $M = 1.5 \cdot 10^{-9}$ ,  $M_k = 6 \cdot 10^{-3}$ ). Внутри капли происходит слабое вихревое движение, во внешнем течении в кормовой части линии тока отходят от ее поверхности, что говорит об образовании здесь застойной зоны, которая впоследствии может привести к отрыву потока. Данные рис. 10 и 11 расположены на рис. 1 рядом и соответствуют внешней жидкости с близкими значениями  $M$ . Размеры капель отличаются менее чем на  $10\%$ , а  $M_k \sim 10^{-11}$  и  $6 \cdot 10^{-3}$ . Таким образом, рис. 10 и 11 могут служить иллюстрацией влияния среды капли на процесс всплытия ее в одной и той же жидкости.

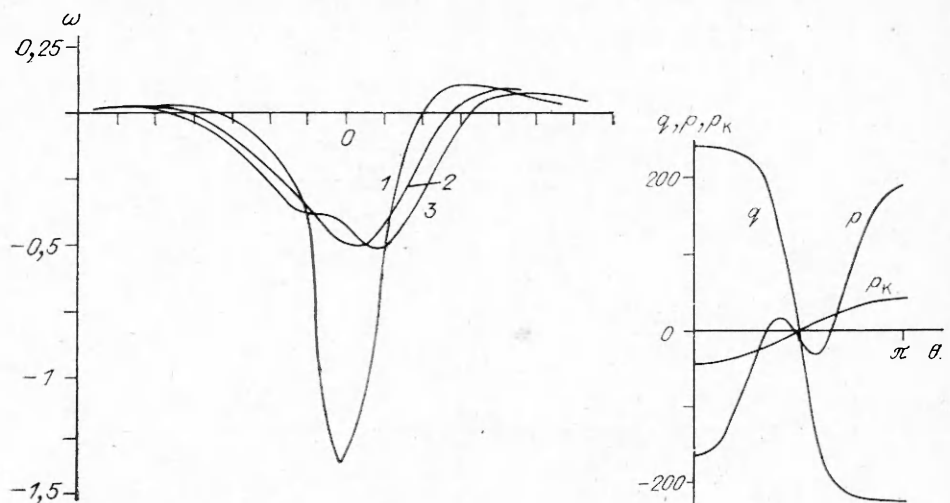


Рис. 12

Рис. 13

**5. Трение на стенке трубы и давление на поверхности капли.** Всплытие капли в трубе с покоящейся жидкостью происходит за счет перетока части жидкости сверху вниз через узкий зазор между стенками капли и трубы. Важная функция, характеризующая эффективность всплытия,— распределение трения  $\tau$  на стенке трубы. Поскольку  $\tau = -2\omega/Re_2$ , то знание вихря  $\omega$  на стенке позволяет определить потери, проинтегрировав это соотношение по поверхности трубы. Геометрический смысл определенного интеграла — площадь под кривой. Поэтому, имея графики  $\omega$ , легко оценить величину работы, которая тратится на преодоление трения жидкости о стенки, и вклад в нее различных участков трубы.

Поскольку капля всплывает в трубе с покоящейся жидкостью, то трение на стенках не равно нулю только в створе ее и на некотором расстоянии от нее. На рис. 12 показаны графики  $\omega$ : цифры 1—3 соответствуют рис. 2, 5, 8. Кривая 1 отвечает слабодеформируемой сфере, распределение  $\omega$  имеет несимметрию относительно прямой  $\theta = \pi/2$ . За каплей существует область положительных значений  $\omega$ , указывающая на торможение здесь жидкости. При больших  $Re_2$  положительные и отрицательные пики растут. Проведем сопоставление значений  $\omega$  на рис. 3 и 4, отвечающих всплытию капель одинакового объема разных жидкостей в одной и той же внешней. Минимальные значения  $\omega$  равны  $-10$  и  $-7,7$ . Для размерных величин  $\omega$  (для отрицательных пиков), поскольку обезразмеривание проведено по скорости всплытия, имеем

$$\frac{\omega_{60}}{\omega_{0,4}} = \sqrt{\frac{Fr_{60}}{Fr_{0,4}}} \frac{\omega'_{60}}{\omega'_{0,4}} = \sqrt{6} \frac{7,7}{10} \approx 1,9,$$

где индекс у  $\omega$ ,  $Fr$  означает принадлежность к решению с таким же  $Re_1$ ;  $\omega'$  — безразмерная величина. Так как  $\tau \sim \rho_2 v_2 \omega$ , то  $\tau_{60}/\tau_{0,4} \approx 1,9$ , величина пика трения на стенке при всплытии капли жидкости с  $M_k \approx 10^{-15}$  больше в 1,9 раза, чем при всплытии капли с  $M_k \approx 10^{-7}$ , но скорость всплытия у первой больше в 2,4 раза.

Аналогичное соотношение для рис. 10 и 11 дает  $\omega_{60}/\omega_{0,4} \approx 1,37$  (в этом случае на диффузорном участке графики  $\omega$  близки, величины пиков равны  $-30$  и  $-25$ ). Здесь скорости всплытия капель мало различаются.

Общие потери при всплытии капли складываются из двух слагаемых: трения перетекаемой жидкости о стенки трубы и о каплю. В случае больших  $Re_1$  потери на капле несущественны, значения  $Fr$ ,  $\omega$  на стенке, формы капли и структуры течений близки к решениям для пузы-  
90

ря. При малых  $Re_1$ , как показывает сравнение рис. 10 и 11, 3 и 4, на капле реализуется условие прилипания на неподвижной (или частично подвижной) границе. Трение жидкости о каплю уже значительное (даже возможен отрыв, см. рис. 11), так что суммарные затраты на переток жидкости становятся большими.

Изменение распределения вихря по мере деформации поверхности капли можно проследить, сопоставляя рис. 2 и 5 и кривые 1 и 2 на рис. 12, которые отвечают одинаковым значениям  $Re_1$  и  $Re_2$ . При вытягивании капли вдоль оси трубы расширяется зазор между ней и трубой — величина пика  $\omega$  убывает. Если поверхность имеет участок, параллельный стенке трубы, то в графике  $\omega$  возникает «полочка». Наличие вмятины (или выступа) приводит к появлению неоднородности у  $\omega$  (кривая 3 рис. 12 отвечает рис. 8). Таким образом, небольшие искажения формы капли (изменение зазора по сечениям) отражаются в распределении вихря  $\omega$ , а значит, и трения  $t$  на стенке.

Важная гидродинамическая характеристика — давление  $p$ . При решении задач обтекания тел заданной формы в переменных  $\psi$ ,  $\omega$  давление  $p$  вообще не входит в постановку задачи и определяется по найденным  $\psi$ ,  $\omega$  с фиксированием  $p$  в некоторой точке области течения. Как правило, восстанавливается функция обобщенного давления  $q$  — алгебраическая сумма  $p$  и потенциала силы тяжести. Этого оказывается вполне достаточно, поскольку сила тяжести играет пассивную роль. Рассхождение в давлении возникает только на этапе сопоставления расчетных данных с экспериментальными в конкретной жидкости и может проявиться в сдвиге функций  $p$  на константу.

В данной постановке давление входит явно в краевое условие на поверхности капли и отыскивается из исходных уравнений движения в едином итерационном цикле. Движущей силой процесса всплытия выступает сила тяжести, в коэффициент которой входит значение  $Fr$ , определяемое при решении задачи. Таким образом, давление несет в себе информацию о равенстве активнодействующих сил ( $Fr$  находится из условия равновесия сил Архимеда и трения внешней жидкости о каплю) и о сохранении объема капли (определяется  $Pd = (p_\infty - p_r) 2a/\sigma$ ,  $a$  задано).

На рис. 13 представлены графики давления на поверхности сферической капли для  $Re_1 = 60$ ,  $Re_2 = 0,4$ ,  $We = 0,0001$  ( $R_s = 0,16$ ,  $R_v = 2,5$ ), картина течения которой близка к приведенной на рис. 2. Здесь  $q$ ,  $p$  — обобщенное давление и давление в жидкости на внешней стороне капли,  $p_k$  — давление на внутренней стороне Г. Число Фруда мало, поэтому в  $q$  основной вклад идет от потенциала силы тяжести ( $\sim R \cos \theta / Fr$ );  $p$  уже не является монотонным. В области узкого зазора развиваются большие градиенты скорости (ускорение жидкости в конфузорной части и замедление ее в диффузорной) и у функции  $p$  появляются локальные максимум и минимум. Давление в капле  $p_k$  отвечает гидростатическому, хотя внутри капли довольно развитое течение,— следствие малости параметра  $\rho_1/\rho_2$ , являющегося коэффициентом при расчете  $p_k$ . Графики для давлений при  $Re_1 = 0,4$ ,  $Re_2 = 0,4$ ,  $We = 0,0001$  практически совпадают с рис. 13, кроме начального и конечного участков, где есть небольшое отклонение в сторону увеличения амплитуды колебания.

Рис. 14 и 15 отвечают данным рис. 3 и 4 для сферических капель одинакового объема разных жидкостей в одной и той же жидкости. Характер графиков давлений для более вязкой капли такой же, как на рис. 13, но с функцией  $p$ , имеющей порядок значений, как у  $p_k$  — следствие торможения внешней жидкости около капли. Рис. 15 отвечает «случаю пузыря»: трение па поверхности мало, давление в кормовой части капли возрастает. Значения функции  $p_k$  маленькие, и практически она постоянна, кроме окрестности точки  $\theta = \pi/2$ , где меняет знак.

Деформация поверхности, сужение зазора приводят к перераспределению функций давления, появлению в области зазора узких пиков (рис. 16 соответствует данным рис. 10). Присутствие более вязкой среды

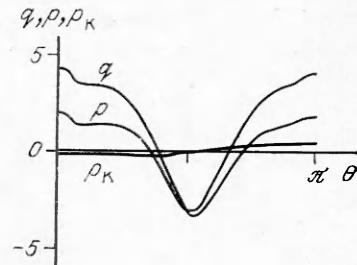
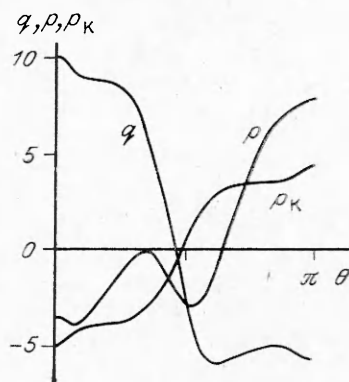


Рис. 15

Рис. 14

в капле сглаживает эти пики. Таким образом, рис. 10, 11, 16 демонстрируют влияние среды капли на давление при ее всплытии.

Вытягивание капли вдоль оси трубы приводит к изменению структуры распределения давлений. У функции  $\rho$  участок немонотонности растянулся на всю боковую поверхность капли, амплитуда колебаний ее уменьшилась. Функция  $\rho_k$  близка к  $\rho$  и существенно отличается от нее только в окрестности лобовых точек. На рис. 17 представлены графики давлений, отвечающие рис. 5. Немонотонное поведение  $\rho_k$  и  $\rho$  в области передней лобовой точки связано с тем, что здесь встречаются два потока жидкости — внутри капли и вне — и затем растекаются вдоль границы, образуя плоскую лобовую часть, если их динамические напоры примерно одинаковы.

**6. Обсуждение результатов.** Проведенные многочисленные расчеты показали, что при  $Re_1 = 60$  закономерности деформации капель и значения  $Fr$  совпадают с аналогичными для пузыря [1]. При этом  $M_k$  изменяются от  $10^{-16}$  ( $Re_2 = 100$ ) при  $We = 0,01$  (сфера) до  $10^{-11}$  при  $We = 0,19$  (деформированная капля) и от  $10^{-19}$  ( $Re_2 = 0,4$ ) при  $We = 0,0001$  до  $10^{-11}$  при  $We = 0,01$ ; значения  $M$  имеют порядок соответственно  $\sim 10^{-14}$  и  $10^{-9}$  при  $Re_2 = 100$  и  $\sim 10^{-8}$  и  $10$  при  $Re_2 = 0,4$ . Решения для  $Re_1 > 60$  в рассматриваемом промежутке значений  $We$  (или  $R_s$ ) будут отвечать средам капли с еще меньшими  $M_k$ . Поскольку отношение  $\rho_1/\rho_2$  фиксировано, это означает, в частности, что данные соответствуют средам капли с еще меньшей вязкостью (следовательно, и трением на поверхности  $\Gamma$ ).

Расчеты с  $Re_1 = 0,4$  отвечают всплытию более вязких капель в диапазоне значений  $M_k$  от  $10^{-15}$  ( $Re_2 = 100$ ) при  $We = 0,02$  (сфера) до  $0,006$  при  $We = 0,17$  (деформированная капля) и от  $\sim 10^{-12}$  ( $Re_2 = 0,4$ ) при  $We = 0,00004$  до  $0,16$  при  $We = 0,11$ ; значения  $M$  изменяются от  $10^{-16}$  (сферические капли) при  $Re_2 = 100$  до  $M = 16$  («продолговатые снаряды») при  $Re_2 = 0,4$ .

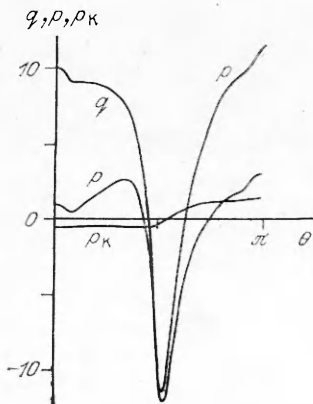


Рис. 16

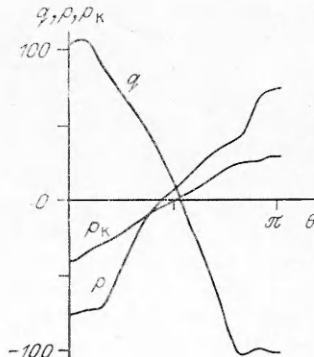


Рис. 17

Данные для больших  $M_k$ , чем указано выше, соответствуют расчетам с  $Re_1 < 0,4$ . Физически это отвечает более вязким средам капли (в пределе с недвижимой жидкостью), так что во внешнем течении скорость жидкости на поверхности запускается. Решения, отвечающие фиксированному  $Re_2$  с  $Re_1 < 0,4$ , располагаются на рис. 1 несколько выше, чем для  $Re_1 = 0,4$ . Таким образом, по данным рис. 1 с учетом диаграммы из [1] для пузыря можно построить изолинии числа Фруда для конкретной жидкости капли и проследить особенности всплытия в других заданных жидкостях. Размеры капель, для которых получены решения, достигают 2–3 величин капиллярной постоянной внешней жидкости.

В области сферических капель для  $Re_2 < 1$  имеется «автомодельность» процесса всплытия относительно среды капли и гидродинамического параметра  $R_o$ : линии постоянных значений  $Re_1$ ,  $Re_2$ , изолинии  $Fr$  параллельны оси  $R_o$ . В области деформированных капель наблюдаются два типа их поведения. При  $Re_2 < 1$  (или для жидкостей с  $M > 10^{-3}$ ) имевшаяся «автомодельность» нарушается — раздвоение линии 1 на рис. 1. Для больших  $Re_2$  (для сред всплытия с  $M < 10^{-6}$ ) деформация капель приводит к уменьшению влияния индивидуальных особенностей среды капли на скорость всплытия: данные для сред капли со значениями  $M_k$ , отличающимися на 5–7 порядков, сближаются. Между этими двумя классами жидкостей имеется промежуточная зона с  $M$  от  $\sim 10^{-6}$  до  $10^{-4}$ , где линии постоянных  $Re_1$ ,  $Re_2$  практически параллельны (линии 2 и 3).

Сближение линий 4 и 5, 6 и 7 можно объяснить тем, что по мере деформации капель появляются предпосылки к образованию вторичных течений с замкнутыми линиями тока около стенки трубы за каплей и в кормовой части около ее поверхности. Наличие застойных зон стирает индивидуальные особенности течения, обусловленные средой капли, и приводит к «автомодельности» скорости всплытия относительно жидкости капли.

Расчеты показывают, что если  $M_k$  среды капли меньше  $M$  внешней жидкости, то реализуется течение, как около вспывающего пузыря; в противном случае движение около границы раздела сред существенно заторможено.

Для вспывающих в трубе пузырей было показано [5], что в области, где пузырь деформируется, вытягиваясь вдоль оси трубы, он всплывает по закону «снарядного режима» ( $\lambda = 0,8$ ), т. е. скорость всплытия не зависит от его размера. Учитывая как количественное совпадение диаграмм, так и качественное, можно утверждать, что в области IV (рис. 1) в жидкостях с  $M > 10^{-4}$  капли с эквивалентным радиусом, большим капиллярной постоянной  $\delta_o$ , в стесненных условиях всплывают по закону «снарядного режима». В средах при  $M < 10^{-4}$  это происходит для капель с радиусом, большим  $2\delta_o$ .

Движение среды в капле не изменило правой границы области перестройки процесса деформации III по сравнению со случаем пузыря. Левая граница сдвинулась, так что область III стала уже. Таким образом, учет движения среды в пузыре приводит к увеличению области сферических пузырей в жидкостях с большими  $M$ , а значит, в трубах при  $R_o < \delta_o$  увеличение его размеров может приводить к остановке пузыря вследствие его «жесткости». Сужение области III и сдвиг ее верхней части вправо также могут служить объяснением остановки пузыря в капиллярных трубках с жидкостью с малыми  $M$  [6]: пузырь деформируется, вытягиваясь поперек трубы, происходит ее «запирание».

Значения  $M$  для жидкостей, в которых процесс перестройки деформации существенно увеличен, возросли примерно на порядок по сравнению со всплытием пузыря (наклонная часть области III).

Таким образом, учет движения среды в пузыре (расчеты при малых  $\rho_1/\rho_2$ ) существенно влияет на скорость всплытия его в трубке и на структуру течения жидкости около него.

Расчеты при  $\rho_1/\rho_2 = 0,5$  показали, что данные для постоянных значений  $Re_1, Re_2$  сдвигаются на диаграмме в координатах  $R_s, R_v$  вверх относительно расчетов с  $\rho_1/\rho_2 = 0,1$  для тех же  $Re_1, Re_2$  [3]. Значения  $Fr$  при этом меньше, закономерности деформации капель остаются прежними. Итак, полученные результаты расчетов, диаграмма режимов течений дают полное представление о процессах при всплытии капель в стесненных условиях вплоть до выхода на «снарядный режим».

#### ЛИТЕРАТУРА

1. Волков П. К. Всплытие газового пузыря в трубе, заполненной вязкой жидкостью // ПМТФ.— 1989.— № 6.
2. Бэтчелор Дж. Введение в динамику жидкости.— М.: Мир, 1973.
3. Волков П. К. Всплытие капель жидкости в вертикальных трубах с другой жидкостью // Моделирование в механике/АН СССР, Сиб. отд-ние, ИТПМ, ВЦ.— 1990.— Т. 4(21), № 5.
4. Hill M. J. M. On a spherical vortex // Philos. Trans. Roy. Soc. London. Ser. A.— 1984.— V. 305, pt 1.
5. Волков П. К. Гидродинамика пузырьков, всплывающих в капиллярных трубках // Сиб. физ.-техн. журн.— 1991.— Вып. 4.
6. Maeda N. Behavior of a single bubble in quiescent and flowing liquid inside a cylindrical tube // J. Nucl. Sci. and Technol.— 1975.— V. 12, N 10.

г. Новосибирск

Поступила 13/VIII 1992 г.

УДК 629.782.015.3.025.1

Г. И. Майкапар

#### ЦИЛИНДР С ОПЕРЕНИЕМ В СВЕРХЗВУКОВОМ ПОТОКЕ

Для расчетного режима получено точное решение: оперение с звездообразным поперечным сечением, расположенное на круглом цилиндре. Применен метод построения с помощью поверхностей тока за плоскими скачками уплотнения.

В [1] предложен способ построения остроносых пирамидальных тел с звездообразным поперечным сечением с помощью поверхностей тока за плоскими скачками уплотнения. Способ может быть распространен па случай, когда передняя часть тела представляет собой цилиндрическую поверхность тока однородного (невозмущенного) сверхзвукового течения. Могут быть применены любые комбинации плоских скачков, дающие изменения продольного и поперечного контуров тела.

От линии пересечения плоского скачка с указанной выше цилиндрической поверхностью отходит также цилиндрическая поверхность, образованная линиями тока за скачком, которая сопрягается на концах дуги пересечения с плоскостями двух клиньев, передние кромки которых — линии пересечения данного скачка с двумя соседними.

Для того чтобы контур поперечного сечения был непрерывным,

углы  $\varphi$  между плоскостями, нормальными к соседним скачкам и проходящими через направление скорости невозмущенного потока, и плоскостью, проходящей через то же направление и кромку клина, должны удовлетворять условию

$$\frac{\cos \varphi_{i+1}}{\cos \varphi_i} = \frac{\tan \theta_{i+1}}{\tan \theta_i}$$

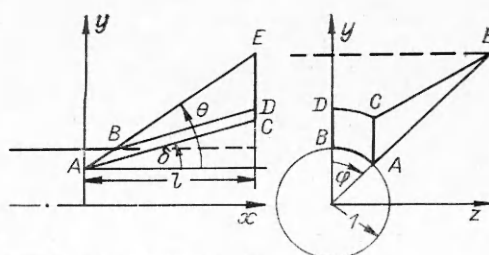


Рис. 1

© Г. И. Майкапар, 1993